

2. Матвеев А.Н. Электричество и магнетизм. — М.: Высш. школа, 1983. — 463 с.
3. Яворский Б.М., Детлаф А.А. Справочник по физике. — М.: Наука, 1990. — 624 с.
4. Гершензон Е.М., Малов Н.Н. Курс общей физики: Электричество и магнетизм. — М.: Просвещение, 1980. — 223 с.
5. Детлаф А.А., Яворский Б.М. Курс физики. — М.: Высш. шк., 1989. — 608 с.
6. Трофимова Т.И. Справочник по физике для студентов и абитуриентов. — М.: ООО «Издательство Астрель», ООО «Издательство АСТ», 2001. — 399 с.

УДК 621.762

Божко Д.И.

ОПРЕДЕЛЕНИЕ НАПРЯЖЕННО ДЕФОРМИРУЕМОГО СОСТОЯНИЯ ПРЕССОВКИ ПРИ РАДИАЛЬНОМ ПРЕССОВАНИИ ТРУБ ИЗ ПОРОШКА

*Белорусский национальный технический университет,
Минск, Республика Беларусь*

Considered problem radial pressing a pipe on an arbor. Determined dependencies a component of stress tensor in fixed spot of porous pipe with source density $\varphi(v)$ and $\psi(v)$, internal radius R_1 and spatial location of considered spot r .

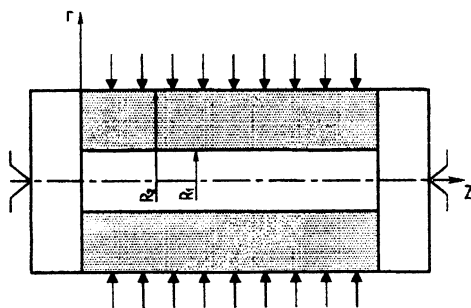


Рис. 1. Схема радиального прессования труб из порошков

Рассмотрим задачу о радиальном прессовании трубы на жесткую оправку.

Пусть внутренний диаметр трубы равен R_1 , внешний R_2 (рисунок 1). Предполагается, что продольная деформация ограничена жесткими стенками, вдоль которых отсутствует внешнее трение. Такая схема приложения нагрузок соответствует состоянию плоской осесимметричной деформации.

В нашем случае компоненты тензора напряжений σ_r , σ_r и σ_z удовлетворяют следующим уравнениям [1,2]:

условию пластичности

$$\frac{3\left(\frac{\sigma_r + \sigma_r + \sigma_z}{3}\right)^2}{\psi^2} + \frac{\left[(\sigma_r - \sigma_r)^2 + (\sigma_r - \sigma_z)^2 + (\sigma_r - \sigma_z)^2\right]}{3\varphi^2} = 1; \quad (1)$$

уравнению равновесия

$$\frac{d\sigma_r}{dr} + \frac{\sigma_r - \sigma_r}{r} = 0; \quad (2)$$

уравнению неразрывности

$$\frac{\partial V_r}{\partial r} + \frac{V_r}{r} = e. \quad (3)$$

Ввиду отсутствия внешнего трения и ограничения продольной деформации граничные и начальные условия выражаются уравнениями:

$$\tau_{rz} = 0; \quad (4)$$

$$\epsilon_z = 0; \quad (5)$$

$$V_r|_{r=a} = 0. \quad (6)$$

Для определения компонент деформаций воспользуемся уравнением (3). Оно может быть представлено в виде:

$$\frac{\partial}{\partial r}(r \cdot V_r) = er. \quad (7)$$

После интегрирования получим:

$$V_r = \frac{1}{2}er + \frac{C_1}{r}. \quad (8)$$

где C_1 — постоянная интегрирования, определяемая при помощи граничного условия (6)

$$C_1 = -\frac{1}{2}e \cdot \frac{R_1^2}{r}. \quad (9)$$

Окончательно

$$V_r = \frac{1}{2}er - \frac{1}{2}e \cdot \frac{R_1^2}{r}. \quad (10)$$

Из (10) найдем компоненты скоростей деформаций

$$e_r = \frac{\partial V_r}{\partial r} = \frac{1}{2} e \left(1 + \frac{R_1^2}{r^2} \right); \quad (11)$$

$$e_\tau = \frac{V_r}{r} = \frac{1}{2} e \left(1 - \frac{R_1^2}{r^2} \right). \quad (12)$$

Скорости деформаций согласно ассоциированному закону определяются формулами:

$$e_{ij} = \lambda \frac{\partial F(\sigma_r, \sigma_\tau, \sigma_z)}{\partial \sigma_{ij}}. \quad (13)$$

Из условия пластичности (1) получим:

$$e_r = \lambda \left(\frac{2 \left(\frac{\sigma_r + \sigma_\tau + \sigma_z}{3} \right)}{\psi^2} + \frac{2\sigma_r - \sigma_\tau - \sigma_z}{3\varphi^2} \right); \quad (14)$$

$$e_\tau = \lambda \left(\frac{2 \left(\frac{\sigma_r + \sigma_\tau + \sigma_z}{3} \right)}{\psi^2} + \frac{2\sigma_\tau - \sigma_r - \sigma_z}{3\varphi^2} \right); \quad (15)$$

$$e_z = \lambda \left(\frac{2 \left(\frac{\sigma_r + \sigma_\tau + \sigma_z}{3} \right)}{\psi^2} + \frac{2\sigma_z - \sigma_r - \sigma_\tau}{3\varphi^2} \right). \quad (16)$$

Из условия (5) следует:

$$e_z = 0. \quad (17)$$

Решая уравнение (16) с условием (17) определим σ_z :

$$\sigma_z = \frac{\psi^2 - \varphi^2}{2\psi^2 + \varphi^2} (\sigma_r + \sigma_\tau). \quad (18)$$

Компоненты скоростей деформаций связаны уравнением [2]:

$$e = e_r + e_\tau + e_z. \quad (19)$$

Подставляя (14), (15) и (16) в уравнение (19) найдем скорость относительного уплотнения:

$$e = \lambda \frac{6 \left[\frac{\sigma_r + \sigma_t + \sigma_z}{3} \right]}{\psi^2}. \quad (20)$$

Определим деформируемое состояние. Для этого решим систему уравнений (11), (12), (14), (15), (20), которая позволяет определить зависимости компонент тензора напряжений от радиуса r при определенном граничном условии. Получим следующее соотношение:

$$\frac{e_r - e_t}{e} = \frac{\sigma_r - \sigma_t}{2(\sigma_r + \sigma_t + \sigma_z)} \cdot \frac{\psi^2}{\varphi^2} = \frac{R_1^2}{r^2}. \quad (21)$$

Введем обозначения:

$$K = \sigma_r - \sigma_t; \quad \sigma_t = \sigma_r - K; \quad \sigma_r + \sigma_t = 2\sigma_r - K. \quad (22)$$

С учетом (18) и (22) уравнение (21) примет вид:

$$K = \frac{2\sigma_r M}{r^2 + M}, \quad (23)$$

где

$$M = \frac{6\varphi^2}{2\psi^2 + \varphi^2} \cdot R_1^2. \quad (24)$$

Подставляя значение $K = \sigma_r - \sigma_t$ в уравнение (2), которое с учетом выбранных обозначений (24) принимает вид:

$$\frac{\partial \sigma_r}{\partial r} + \frac{2\sigma_r M}{r(r^2 + M)} = 0. \quad (25)$$

Проинтегрируем уравнение (25):

$$\int \frac{d\sigma_r}{\sigma_r} = - \int \frac{2M}{r(r^2 + M)} dr, \quad (26)$$

$$\ln \sigma_r = -2 \ln r + \ln(r^2 + M) - \ln C_2.$$

Условие жесткости матрицы позволяет считать, что

$$e_t|_{r=R_1} = 0. \quad (27)$$

Значение C_2 определим из граничного условия (27). Уравнение (15) примет вид:

$$\frac{2 \left[\frac{\sigma_r + \sigma_t + \sigma_z}{3} \right]}{\psi^2} + \frac{2(2\sigma_t - \sigma_r - \sigma_z)}{3\varphi^2} = 0. \quad (28)$$

Откуда

$$\sigma_r = a(\sigma_r + \sigma_z). \quad (29)$$

Совместно решая уравнения (1), (16) и (29), определим значение σ_r при $r = R_1$:

$$\sigma_r = \sqrt{\frac{2\varphi^2 + \psi^2}{3}}. \quad (30)$$

С учетом (30) из уравнения (26) получим:

$$C_2 = \sqrt{\frac{3}{2\varphi^2 + \psi^2}} \left(1 + \frac{6\varphi^2}{2\psi^2 + \varphi^2} \right). \quad (31)$$

Подставляем (31) в (26):

$$\sigma_r = \frac{1}{C_2} \left(1 + \frac{6\varphi^2}{2\psi^2 + \varphi^2} \cdot \frac{R_1^2}{r^2} \right). \quad (32)$$

Уравнение (32) позволяет рассчитать σ_r по радиусу трубы и определить рабочее давление прессования $p_{R_2} = \sigma_r |_{r=R_2}$:

$$p_{R_2} = \frac{1}{C_2} \left(1 + \frac{6\varphi^2}{2\psi^2 + \varphi^2} \cdot \frac{R_1^2}{R_2^2} \right). \quad (33)$$

Значение σ_r определим с учетом (22):

$$\sigma_z = \sigma_r - K = \sigma_r \left(1 - \frac{2M}{r^2 + M} \right) = \frac{1}{C_2} \left(1 - \frac{6\varphi^2}{2\psi^2 + \varphi^2} \cdot \frac{R_1^2}{r^2} \right). \quad (34)$$

По известным σ_r и σ_z определим σ_z из уравнения (18):

$$\sigma_z = (\sigma_r + \sigma_z) \frac{\psi^2 + \varphi^2}{2\psi^2 + \varphi^2} = \frac{2}{C_2} \cdot \frac{\psi^2 + \varphi^2}{2\psi^2 + \varphi^2}. \quad (35)$$

Из анализа приведенных формул (32), (34) и (35) видно, что напряжения в фиксированной точке пористой трубы определяются исходной плотностью $\varphi(v)$ и $\psi(v)$, внутренним радиусом R_1 и пространственным расположением рассматриваемой точки r .

Для полученных зависимостей был проведен расчет для прессовки из титанового порошка ПТК. Изменение радиальных напряжений по радиусу трубы для трех значений исходной плотности (0,4, 0,55, 0,65) и различных значений текущей плотности при соотношении $K = \frac{R_2}{R_1}$ 0,5; 1,25; 3; 5 представлено на рисунке 2. Для того чтобы получить результаты, зависящие не от абсолютного значения текущего радиуса выбранной точки, а только от гео-

метрии тела, величину $R_2 - R_1$ в каждый текущий момент деформирования разбивали на пять равных участков, где при $n=0$ соответствует точке на внутренней поверхности трубы, а $n=5$ — на внешней. Как видно из рисунка 2 σ_r уменьшается от внутренней поверхности к внешней, причем тем резче, чем больше $\frac{R_2}{R_1}$. Для случаев $v = v_0$ σ_r есть предел текучести пористого тела в соответствующей точке.

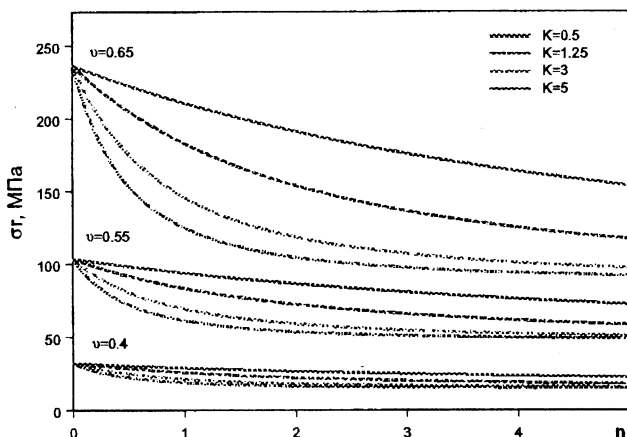


Рис. 2. Изменение рассчитанной компоненты напряжений по радиусу трубы из порошка титана ПТК с исходной плотностью 0.4, 0.55, 0.65 при разных значениях текущей плотности

ЛИТЕРАТУРА

1. Реут О.П., Богинский Л.С., Петюшик Е.Е. Сухое изостатическое прессование уплотняемых материалов. — Минск: «Дэбор», 1998, — 258 с.
2. Штерн М.Б. Определяющие уравнения для уплотняемых пластичных пористых тел // Порошковая металлургия. — 1981. — №4. — С.17–23.